

обработки;  $\omega_3$  – погрешность, вызванная упругими перемещениями узлов, несущих инструмент;  $\omega_4$  – погрешность, вызванная упругими деформациями режущего инструмента.

Таким образом, суммарная геометрическая погрешность обработки в общем случае равна

$$\omega = \omega_6 + \omega_{np} + \omega_3 + \omega_{ус.пр.} + \omega_{ус.ин.} + \omega_{прое} + \omega_M + \omega_{прит} + \omega_1 + \omega_2 + \omega_3 + \omega_4 + \omega_{виб} + \omega_{инс} + \omega_{тепл} + \omega_{ен.натр.} + \omega_{раб} \quad (6)$$

Выполним анализ параметров зависимостей (1) – (6) применительно к задаче обеспечения заданной точности поперечного сечения профильного паза (Т-образный и типа «ласточкин хвост») применительно к наиболее распространенной схеме построения технологического процесса обработки профильных пазов в два этапа:

– 1 этап – обработка прямоугольного паза дисковой фрезой с горизонтальной осью вращения (рис. 1, а);

– 2 этап – обработка профильного паза Т-образной фрезой (рис. 1, б) или фрезой типа «ласточкин хвост» (рис. 1, в).

Выполним анализ структуры погрешности размеров поперечного сечения профильного паза (Т-образного паза и паза типа «ласточкин хвост») применительно к рассматриваемой схеме построения технологического процесса.

1) Погрешность установки  $\omega_3 = 0$ , поскольку при всех общепринятых схемах базирования и закрепления составляющие  $\omega_6$ ,  $\omega_{np}$  и  $\omega_3$  отсутствуют. (Следует отметить, что при рассмотрении вопроса точности расположения пазов относительно базовых поверхностей стола и относительно друг друга, параллельности пазов, прямолинейности и др.,  $\omega_6 \neq 0$ ,  $\omega_{np} \neq 0$  и  $\omega_3 \neq 0$ ).

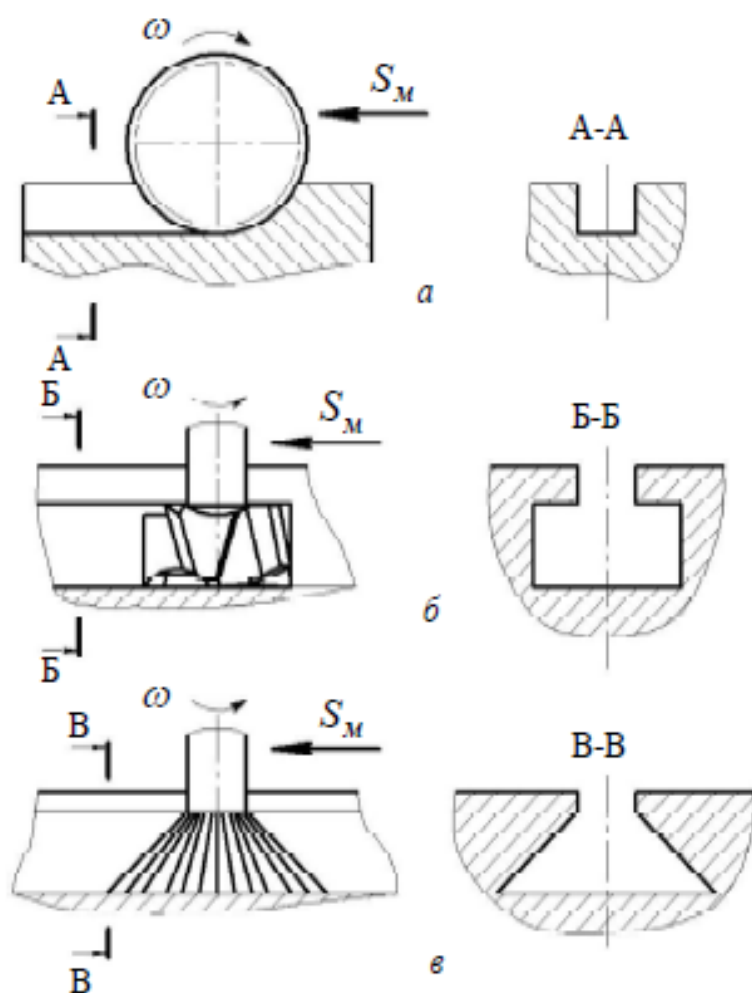


Рис. 1. Схема обработки профильных пазов: а – прямоугольного паза дисковой фрезой; б – Т-образного паза профильной фрезой; в – паза типа «ласточкин хвост» профильной фрезой